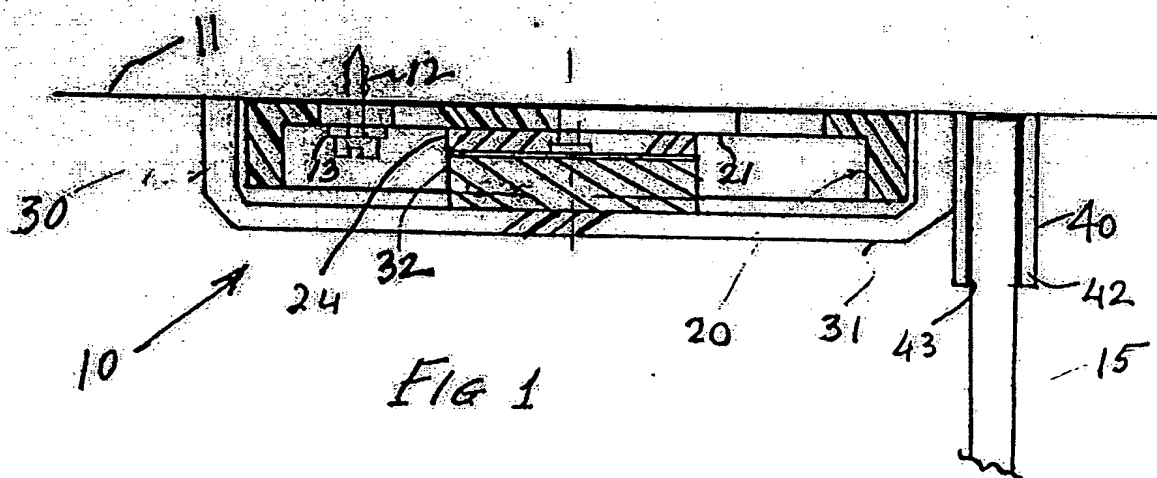
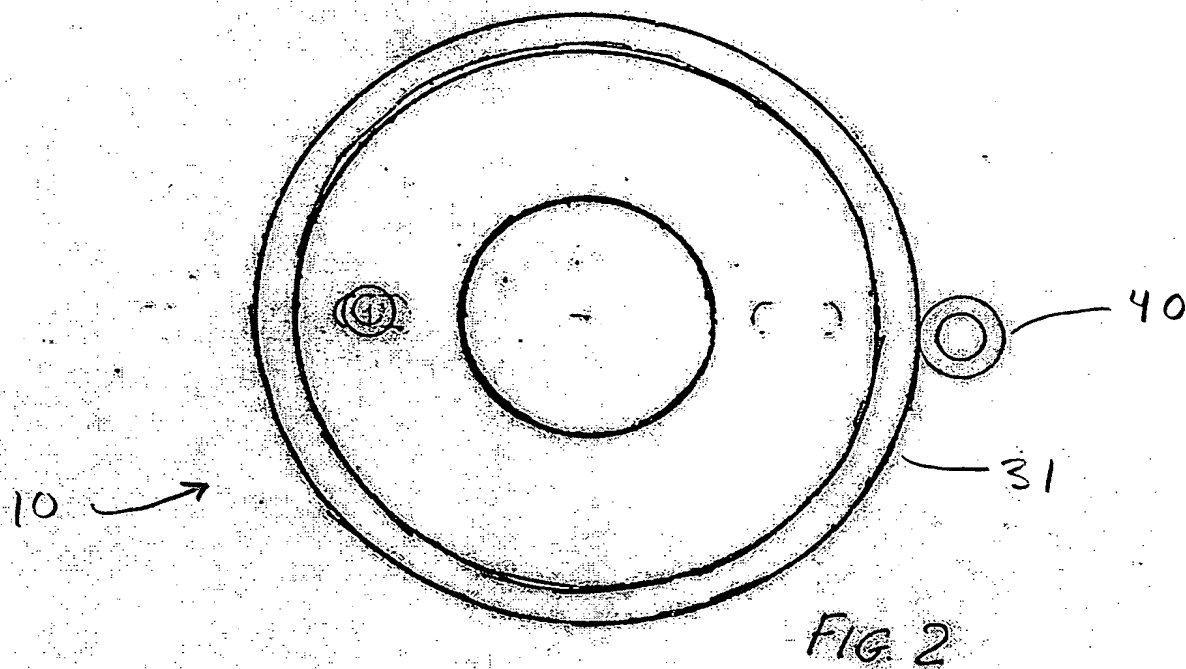


10007505, 120501



100075009 100004
FIG. 4

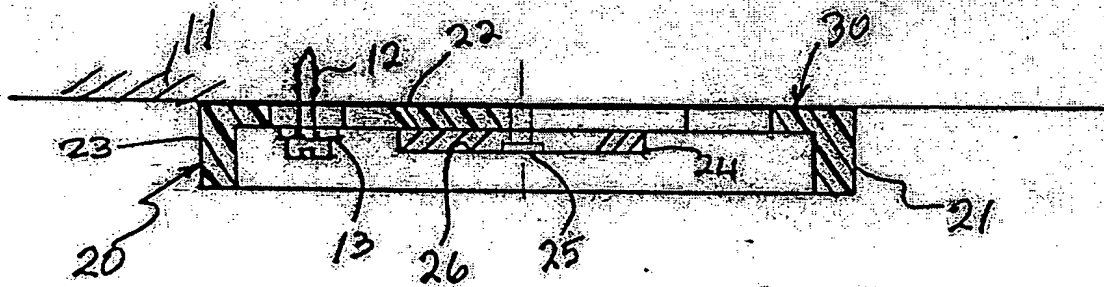
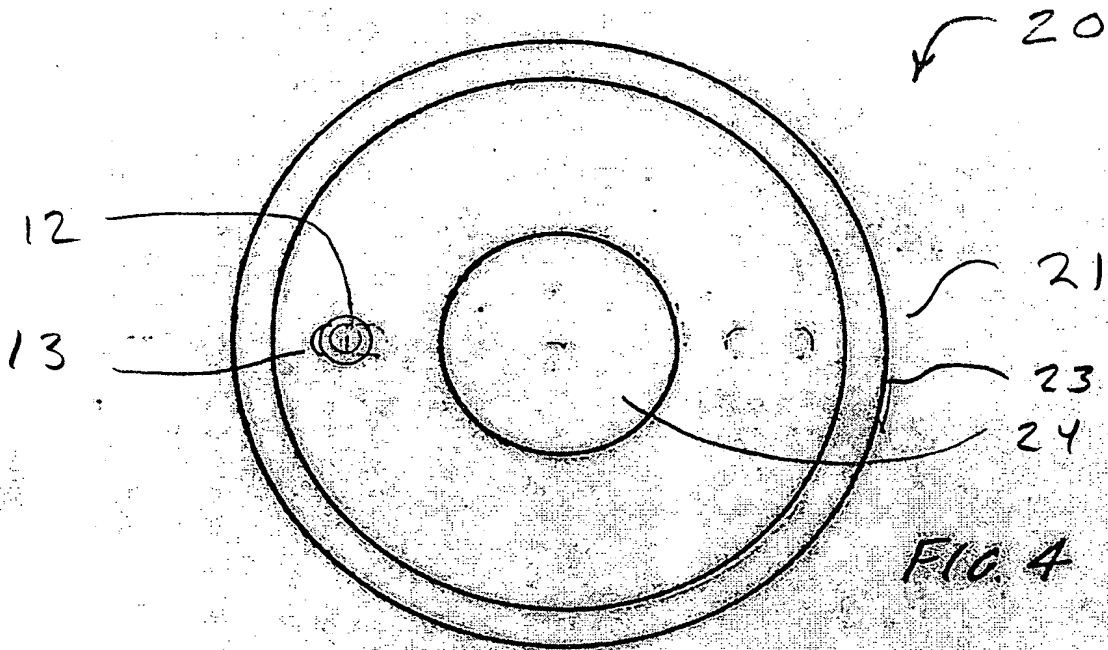


FIG. 3

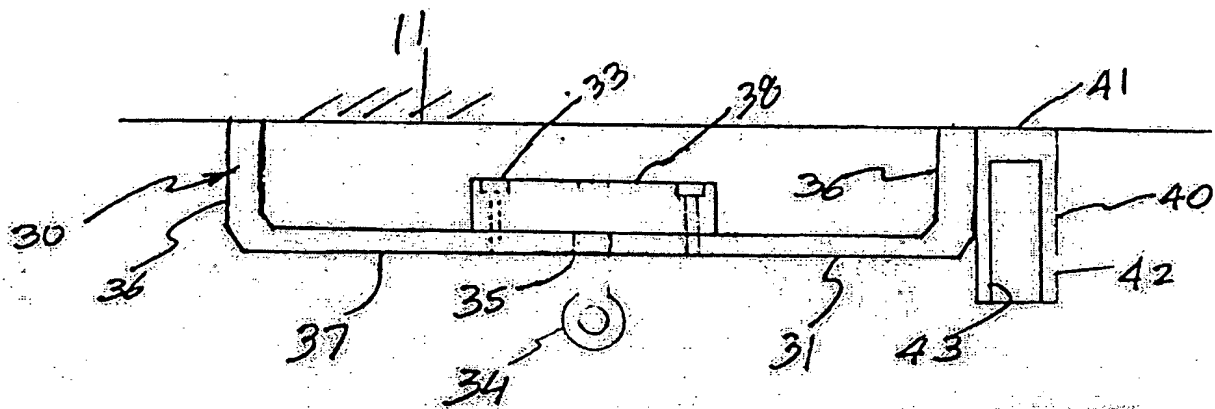


FIG. 5

30

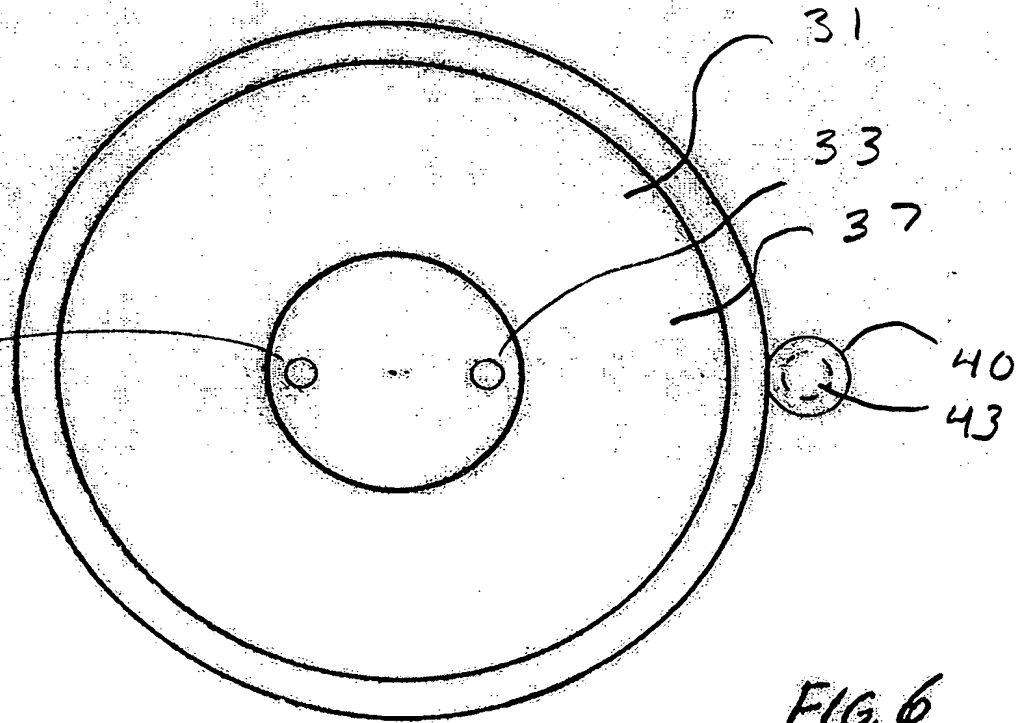
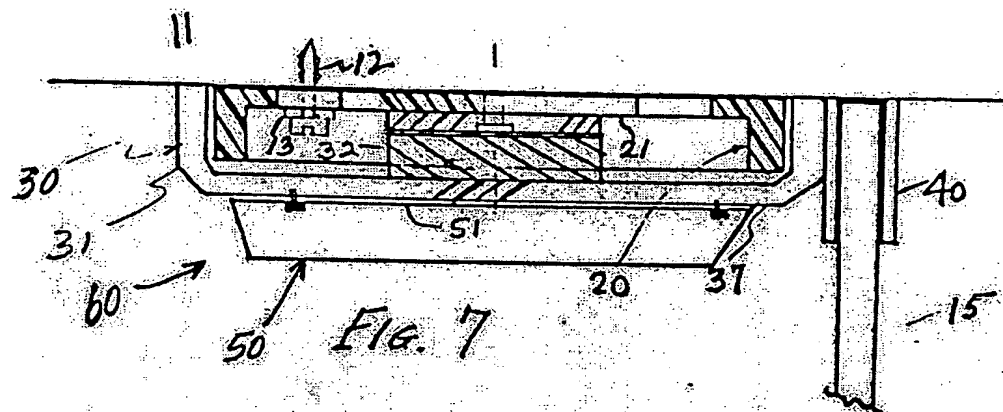


FIG. 6

10007509.120501



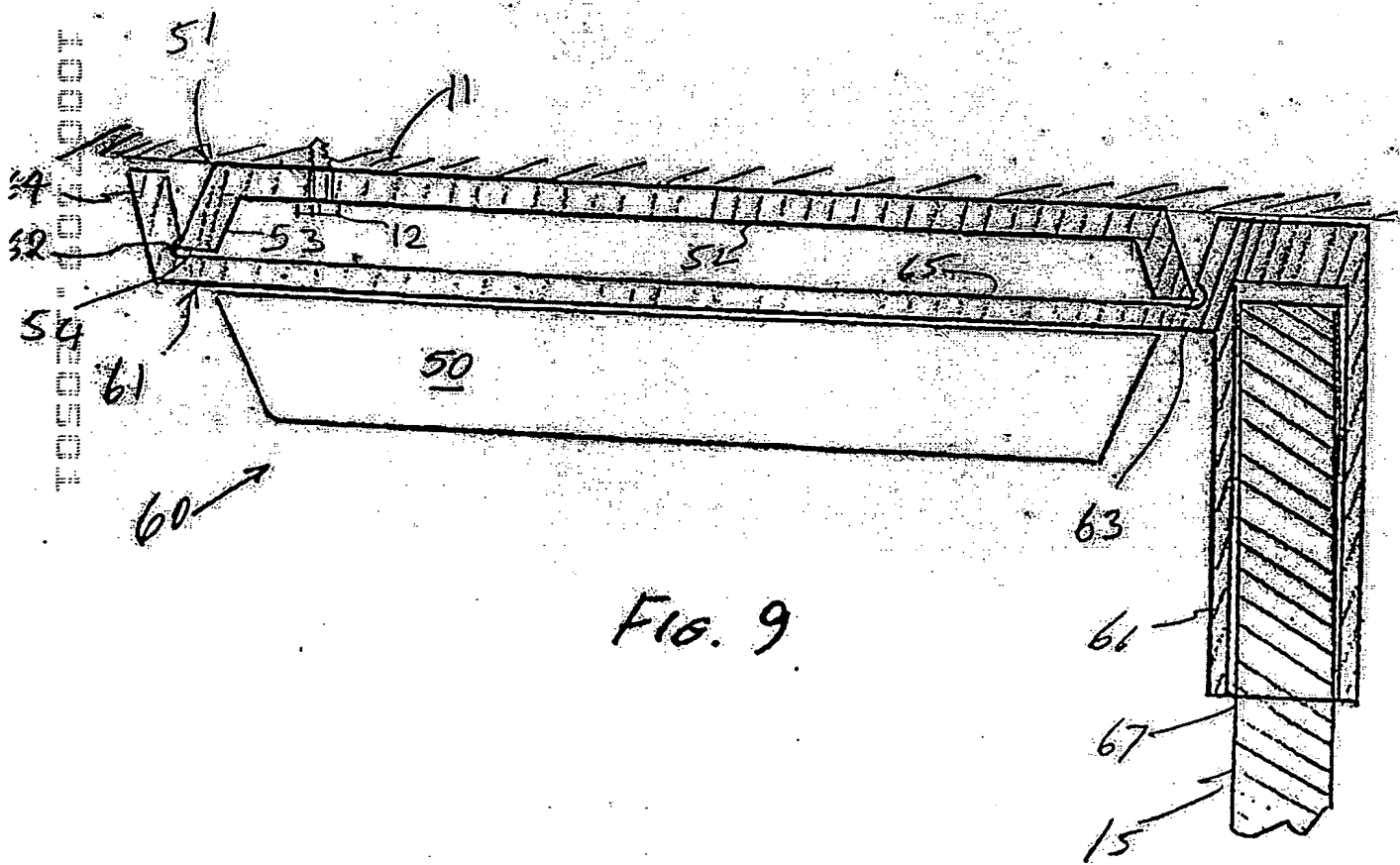
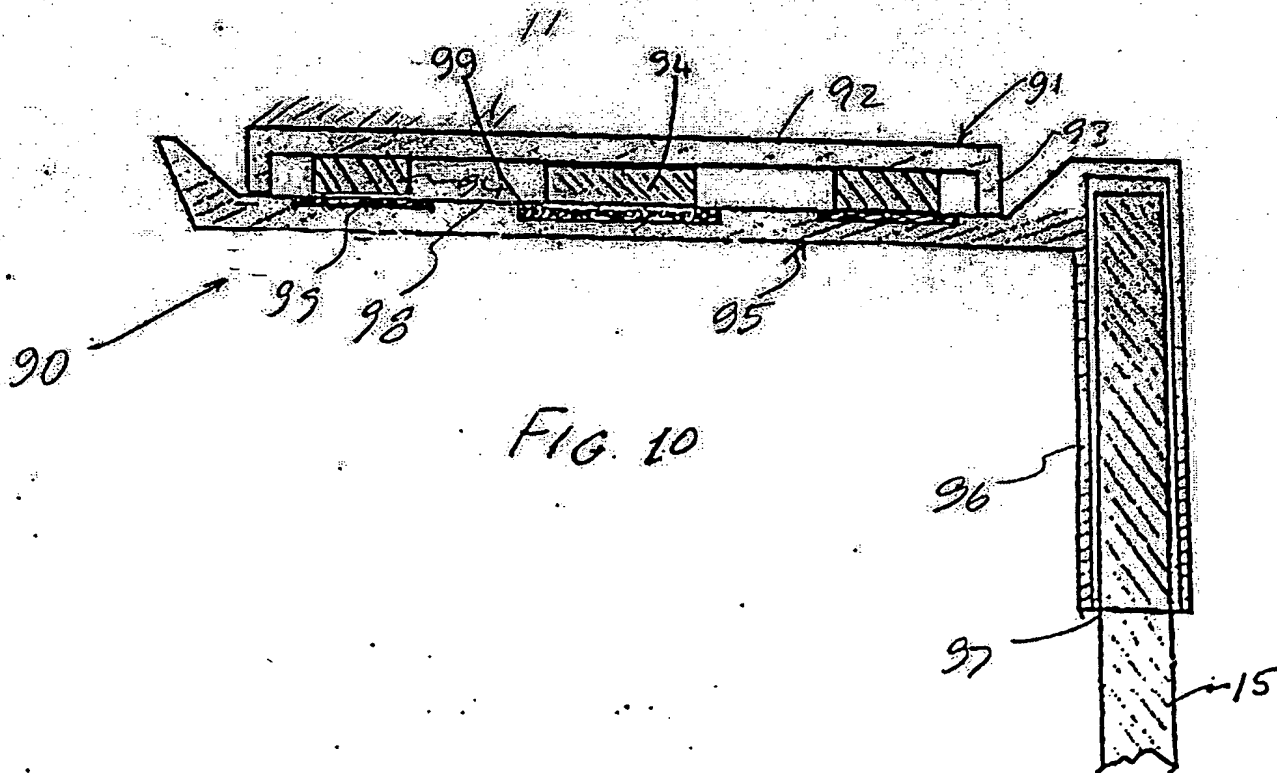
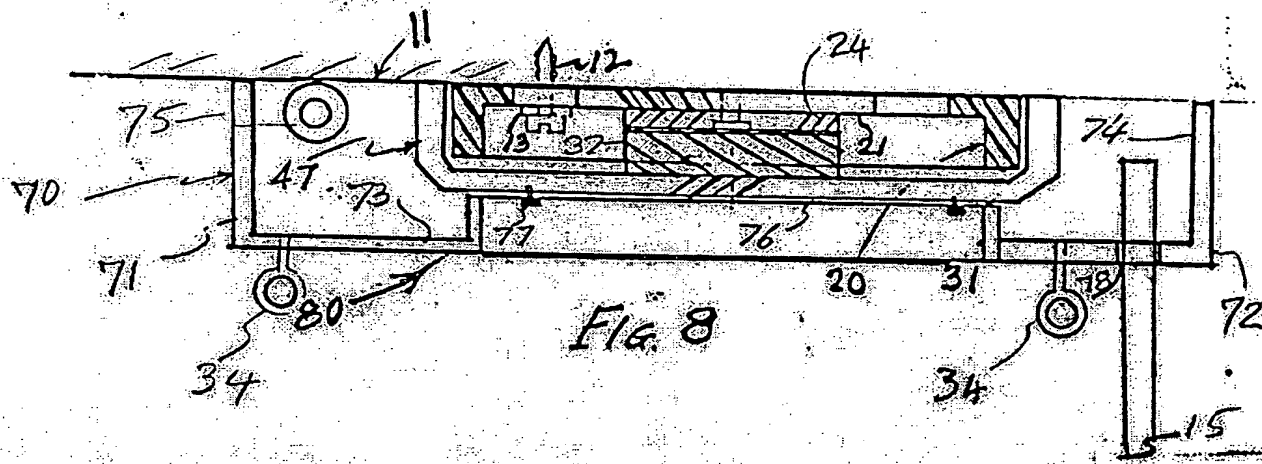


Fig. 9



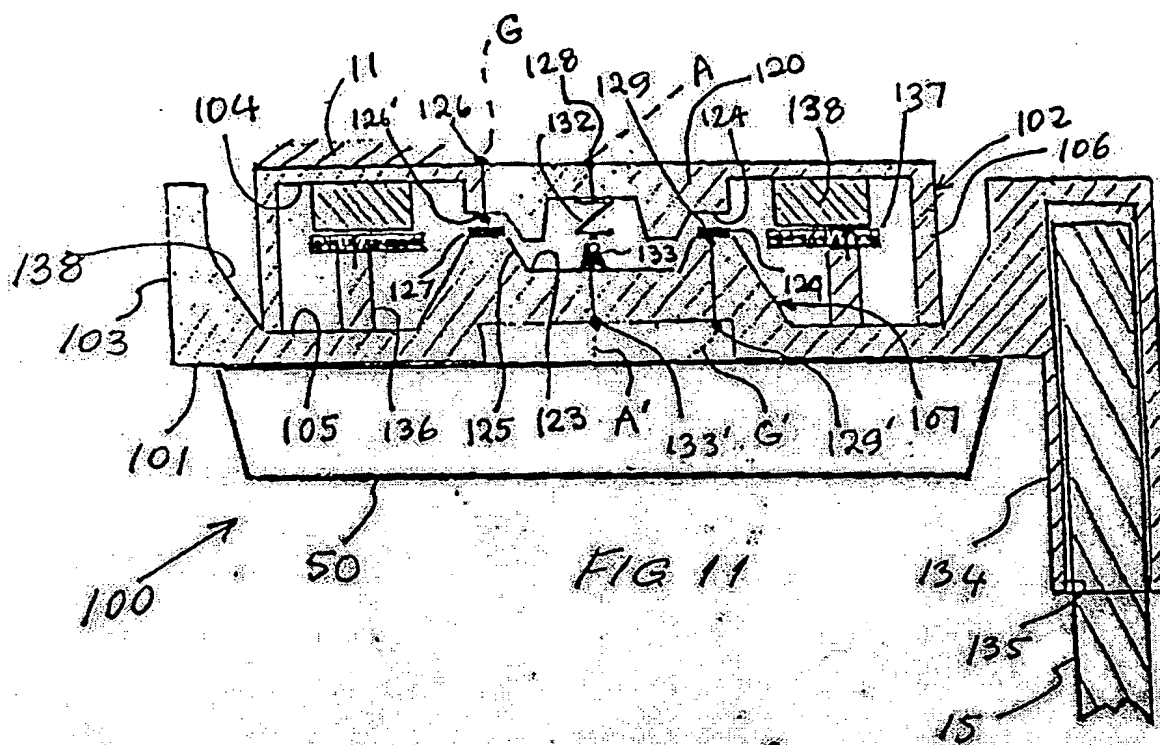


FIG 11

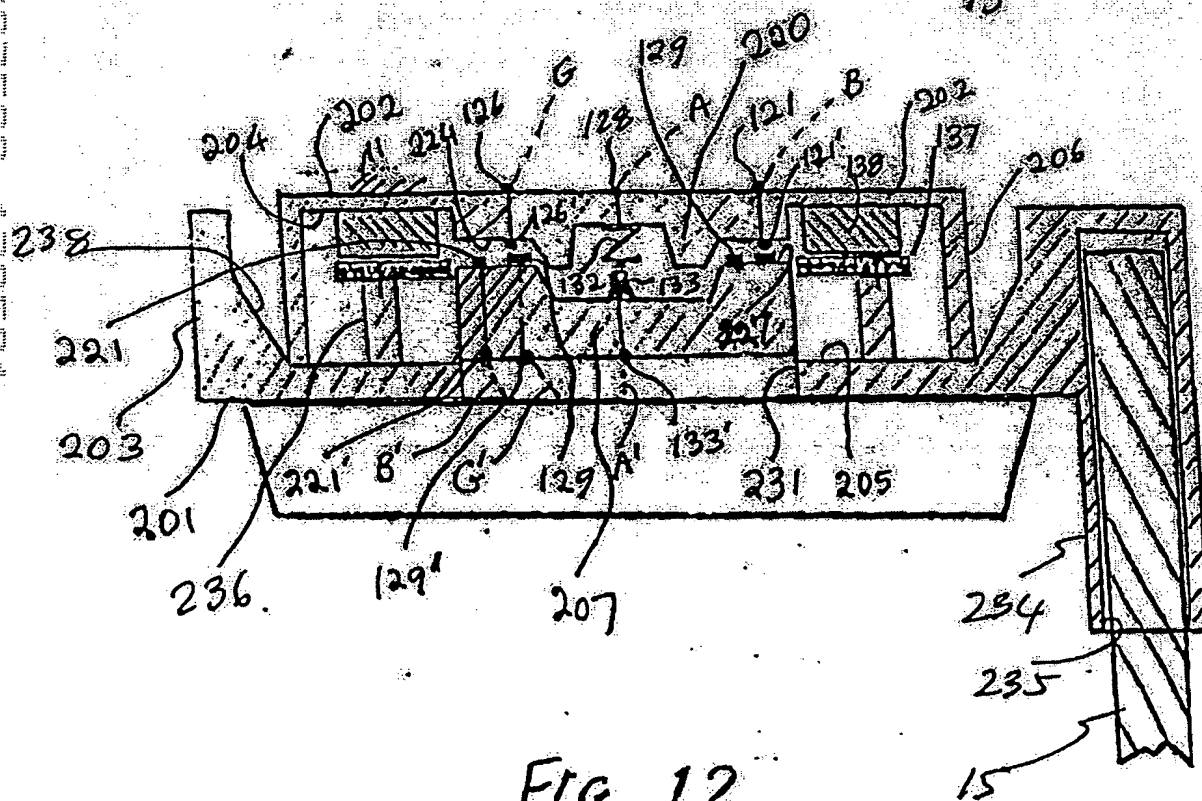
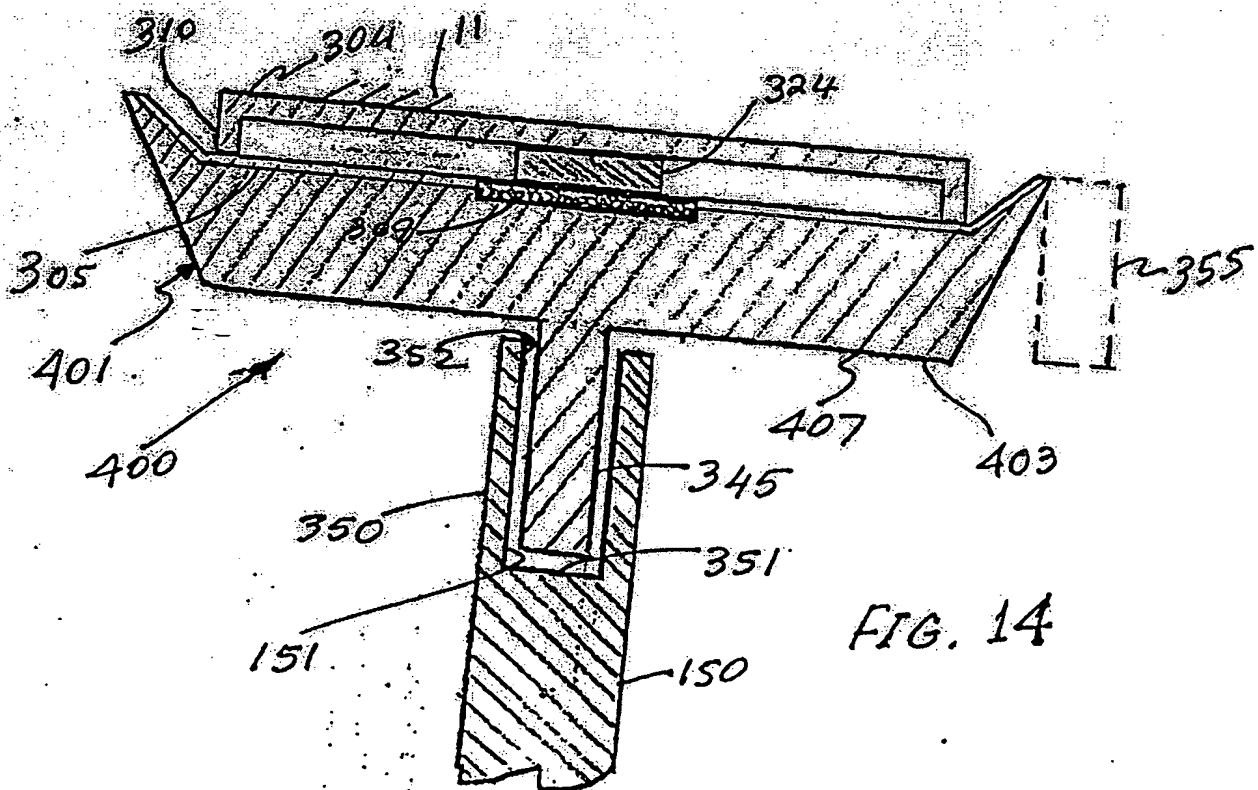
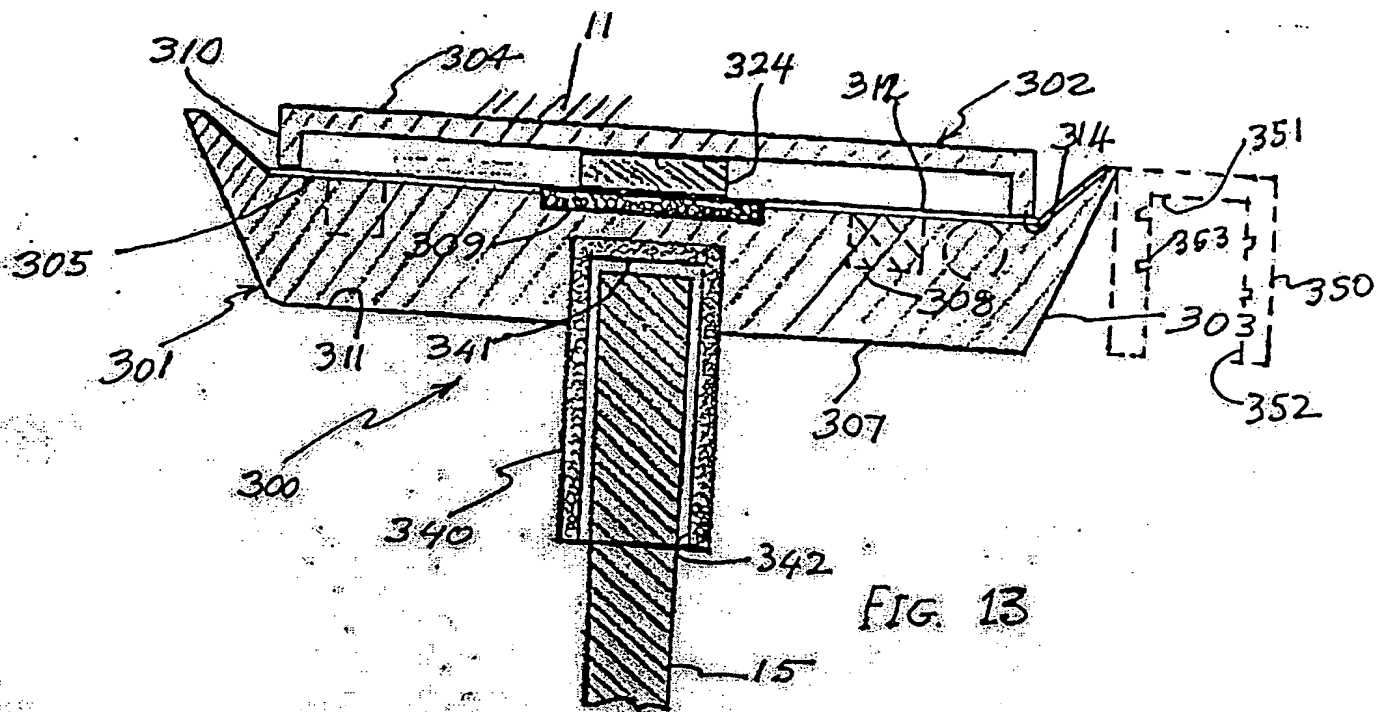
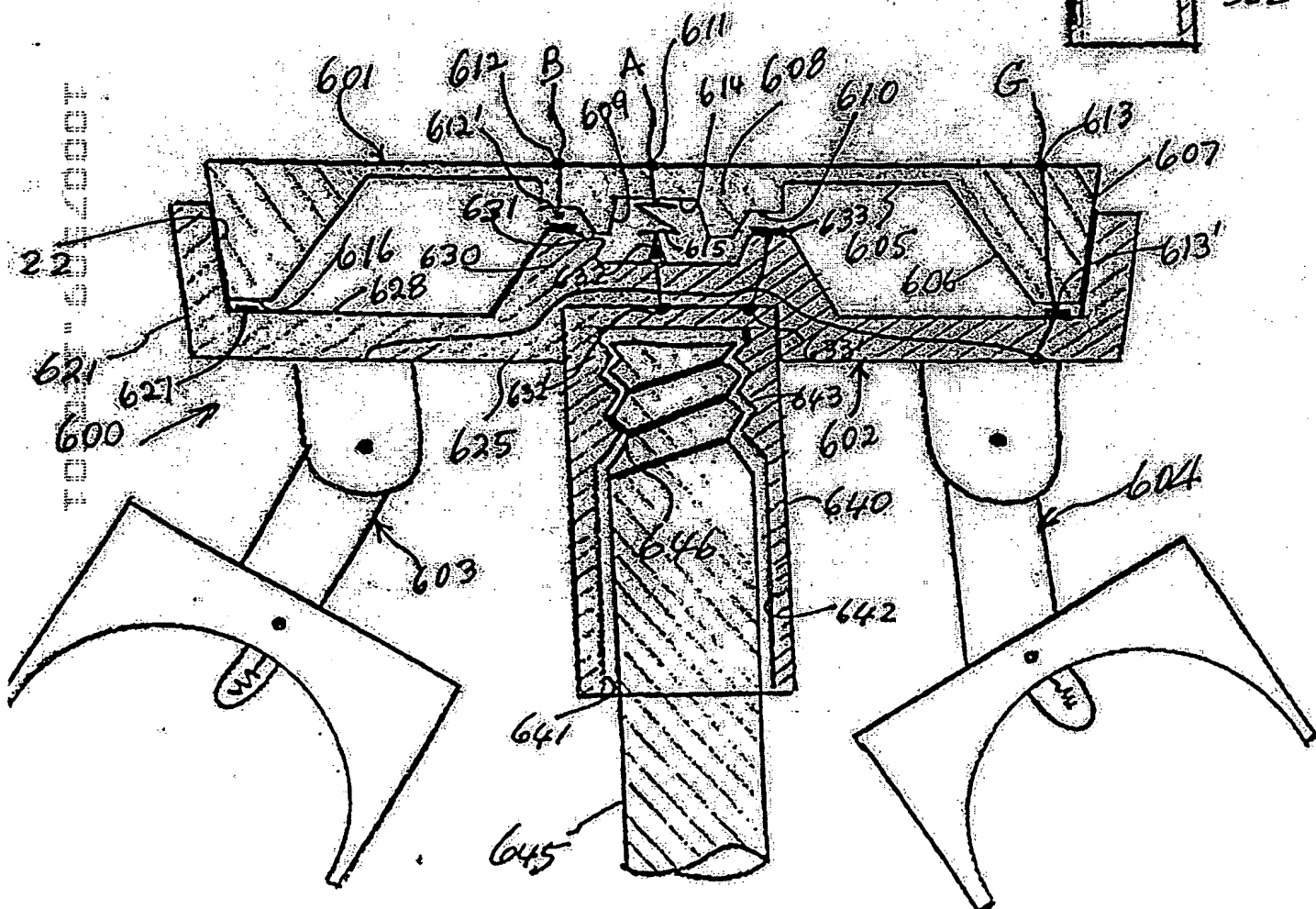
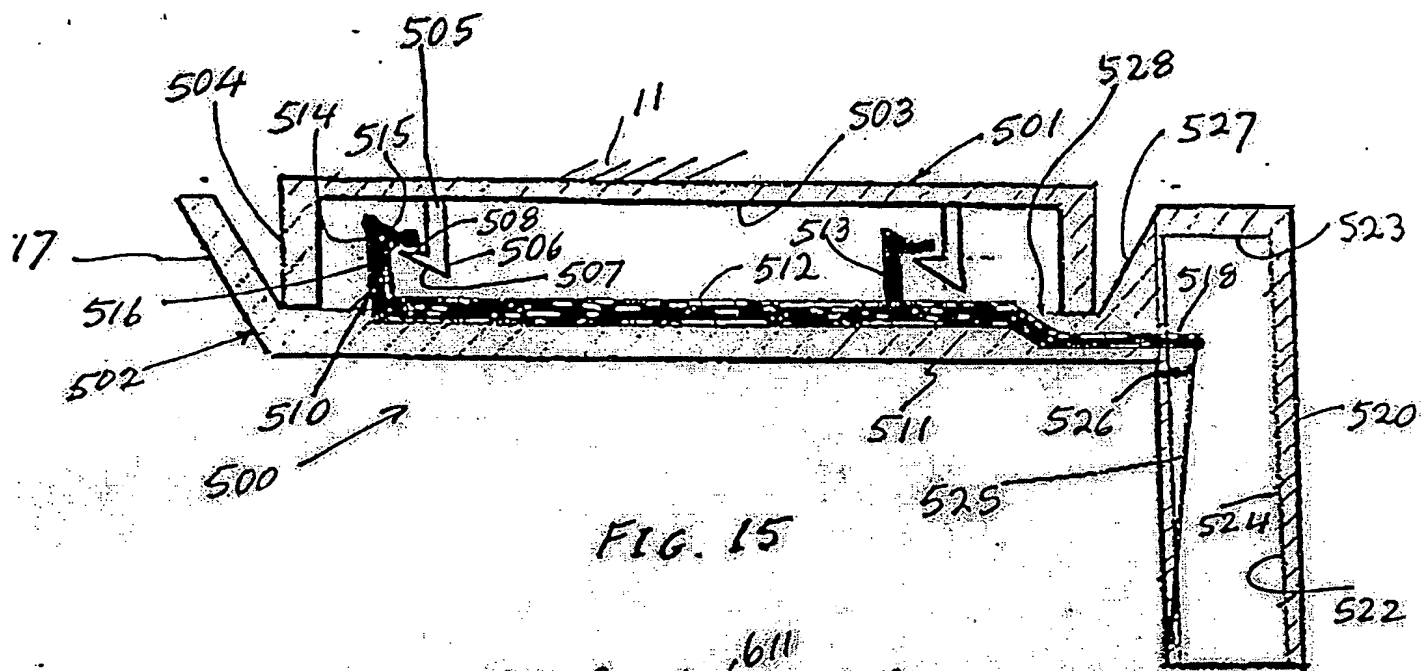


FIG. 12





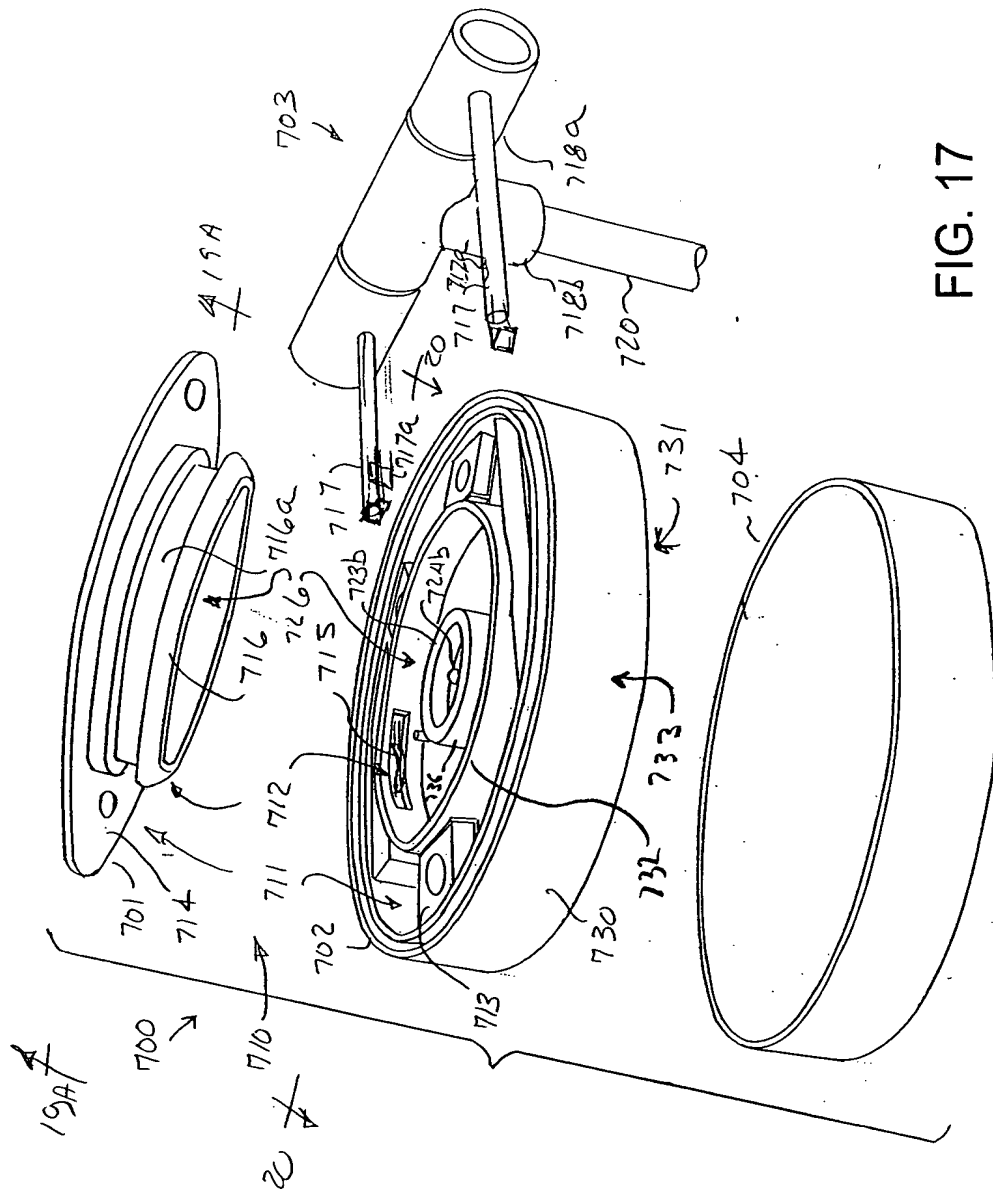


FIG. 17

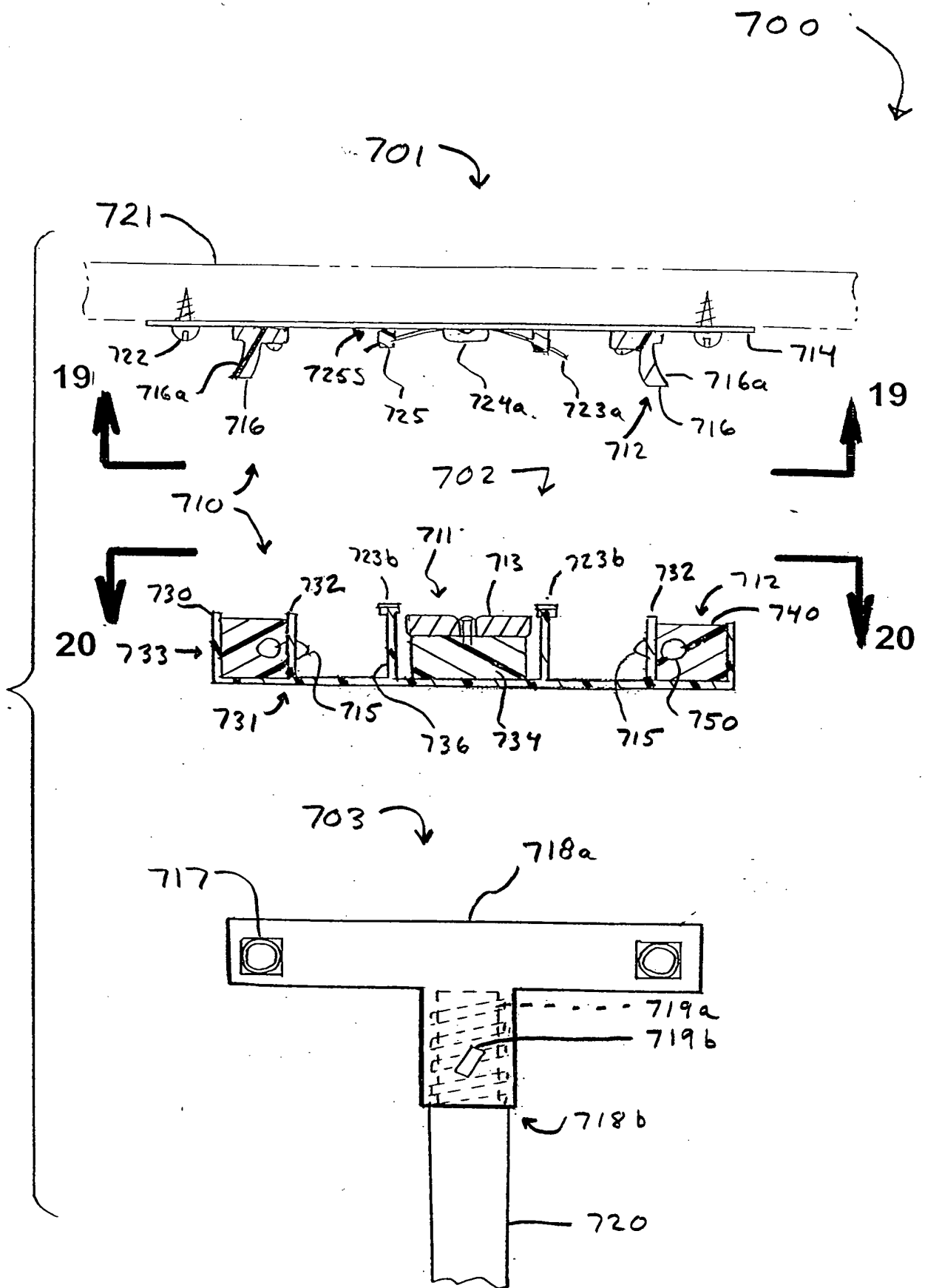


FIG. 18

701

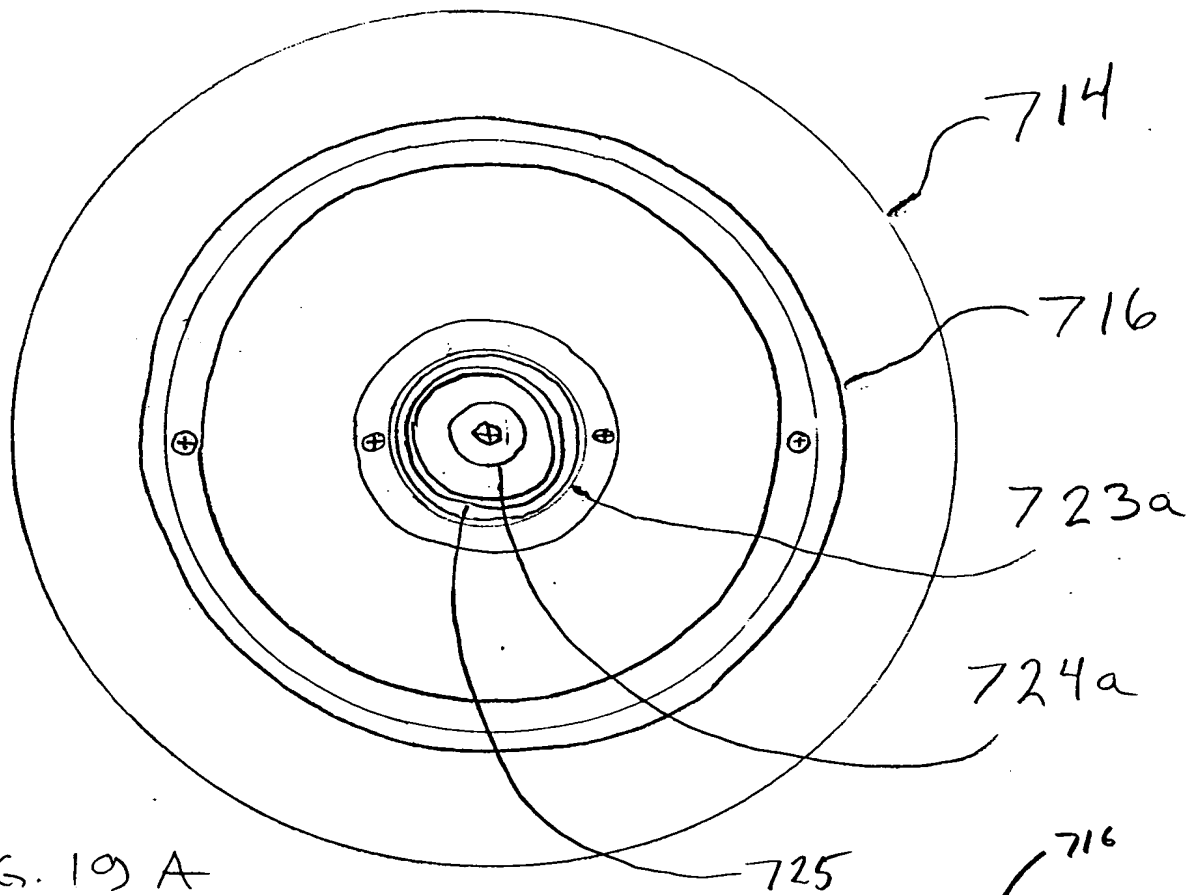


FIG. 19A

FIG. 19B

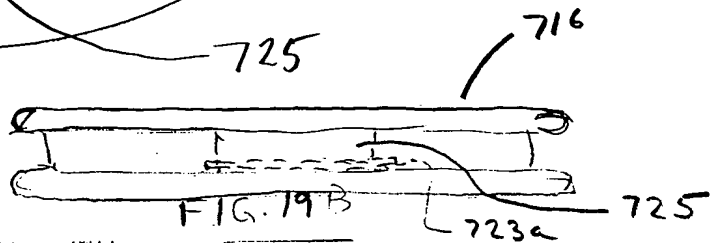


FIG. 19B

FIG. 19D

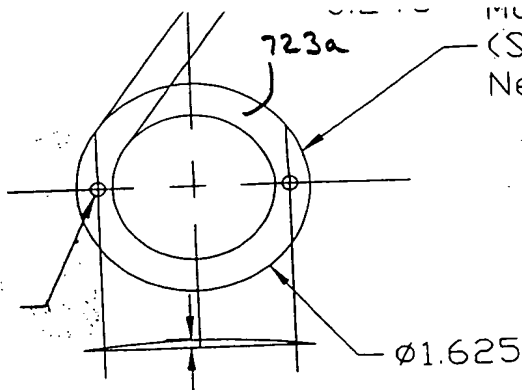


FIG. 19E

Mu
(St
Nei

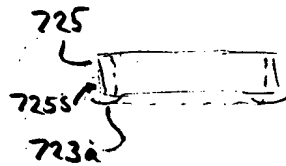


FIG. 19C

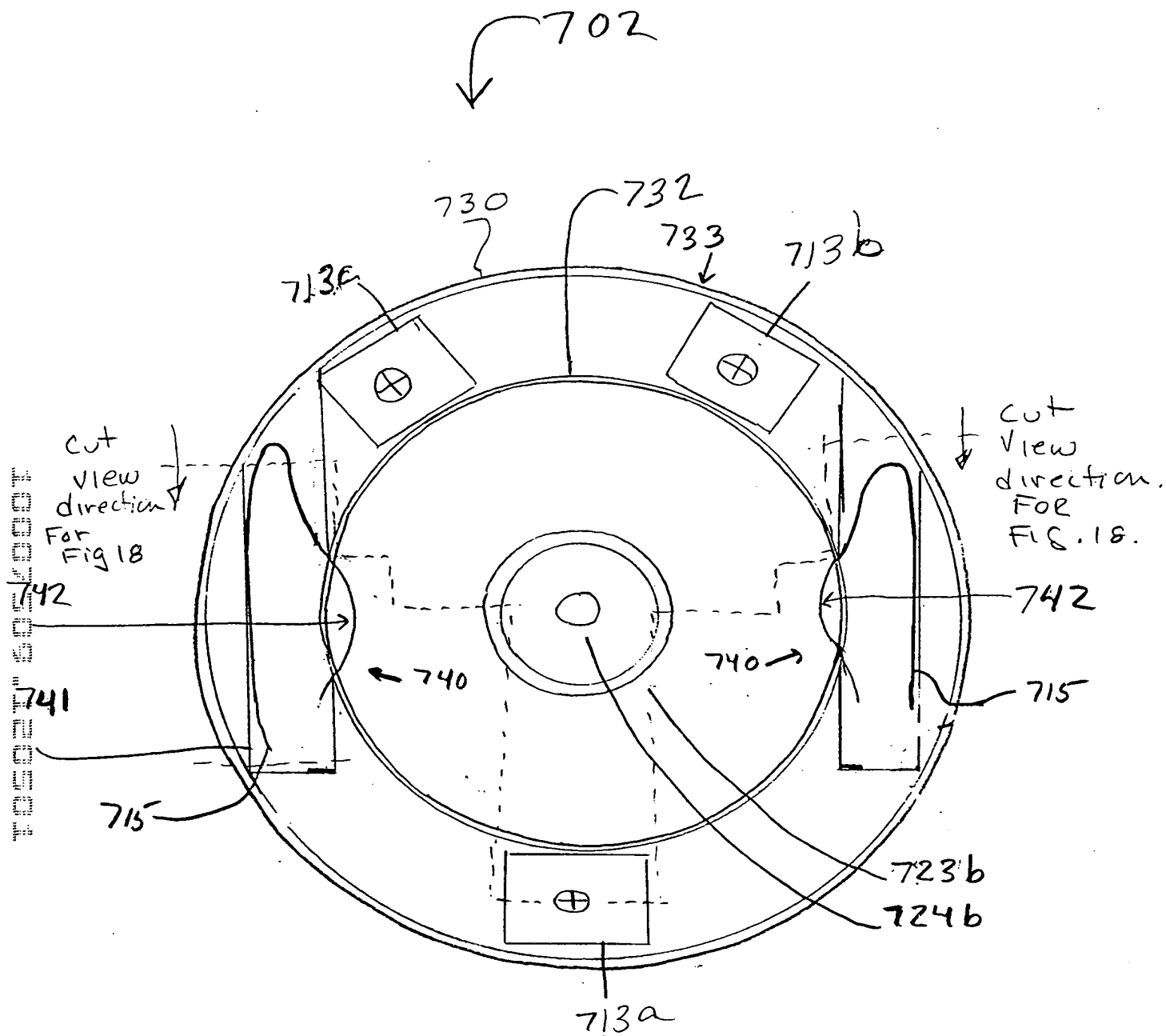
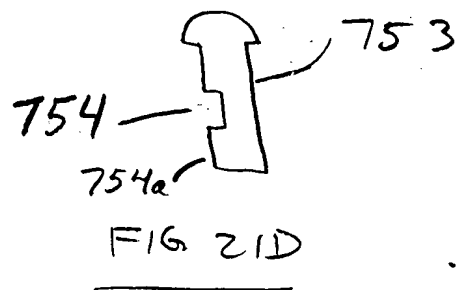
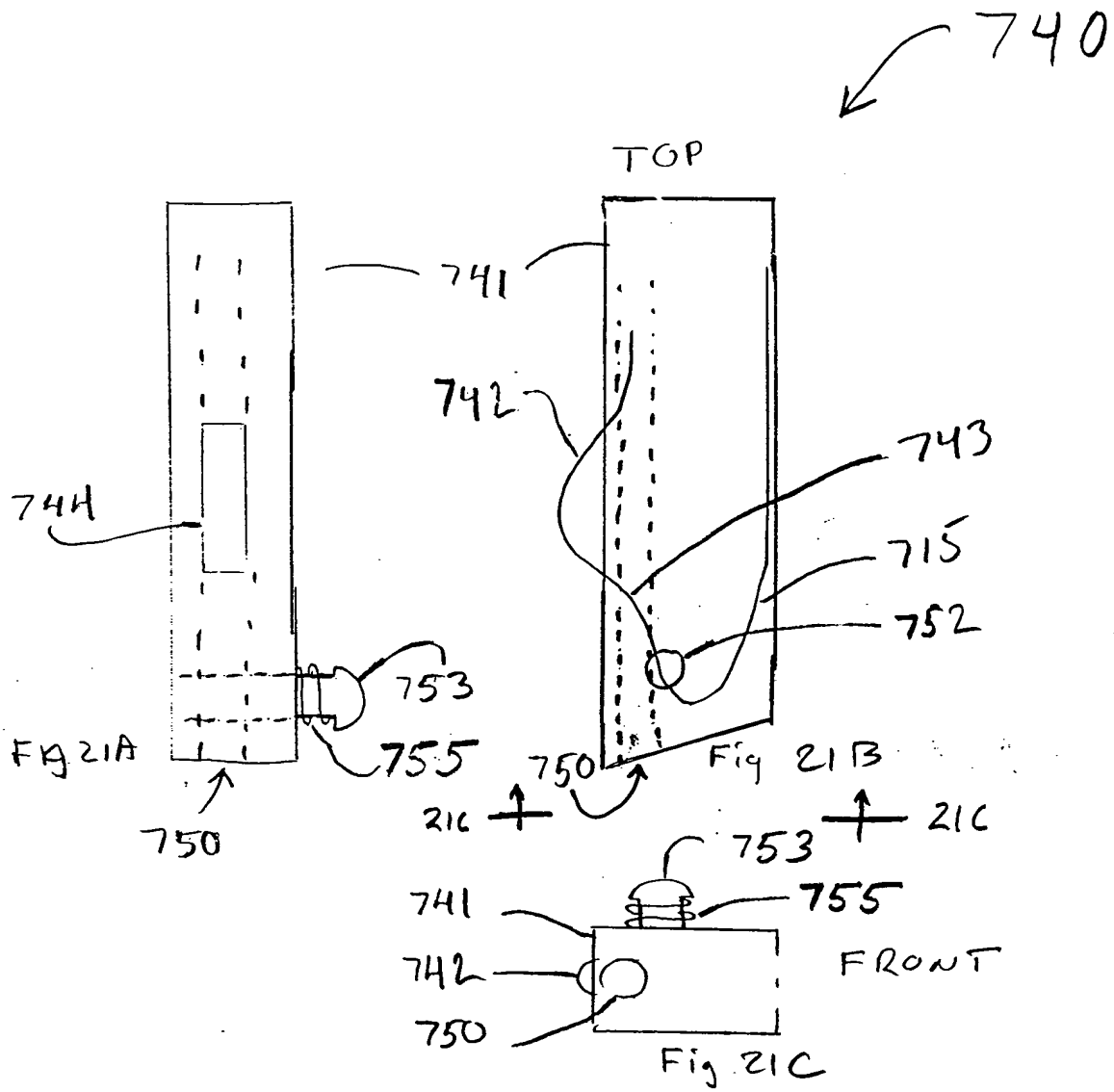
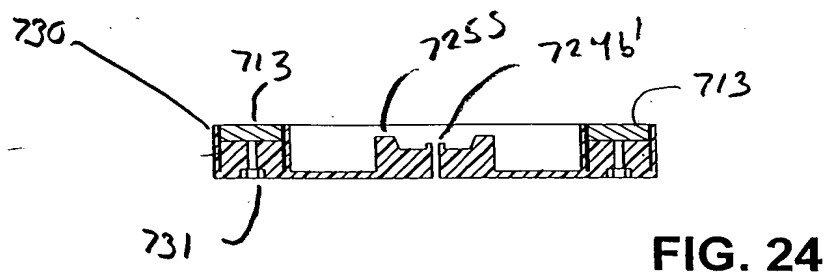
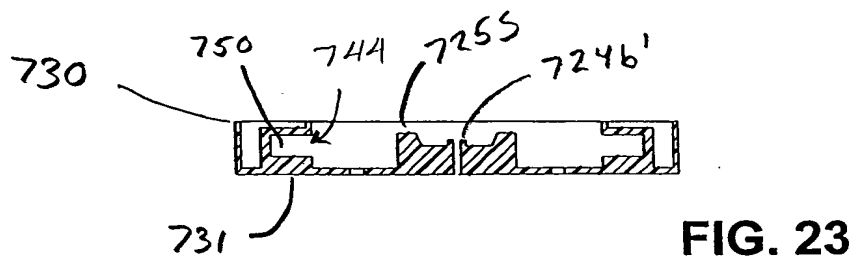
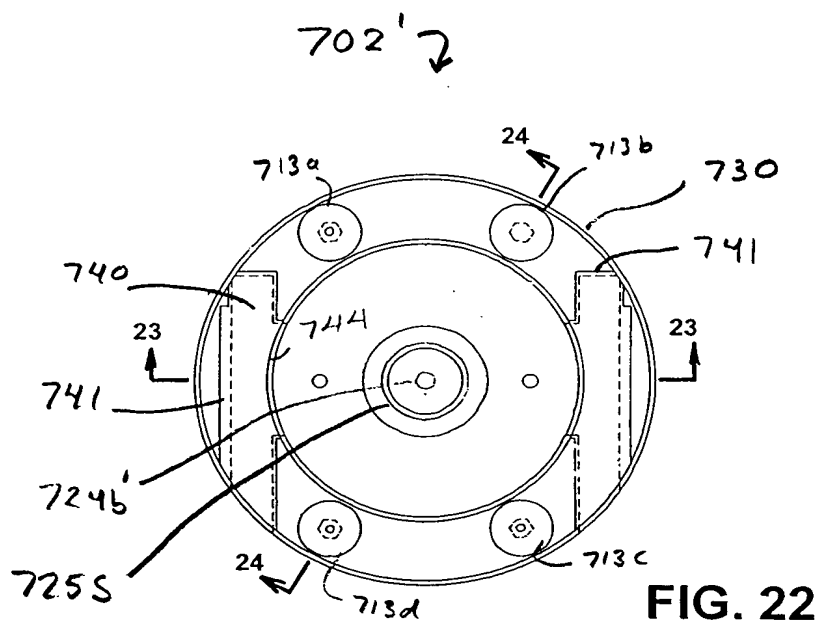


Fig. 20

FIG. 21A





10007509 100001
10007509 100001

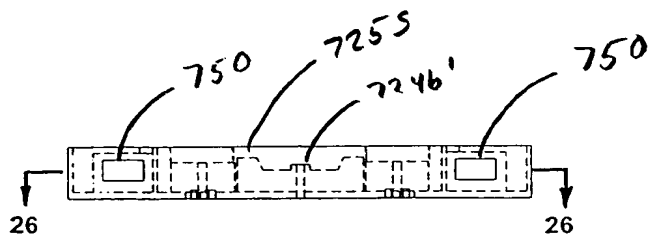


FIG. 25

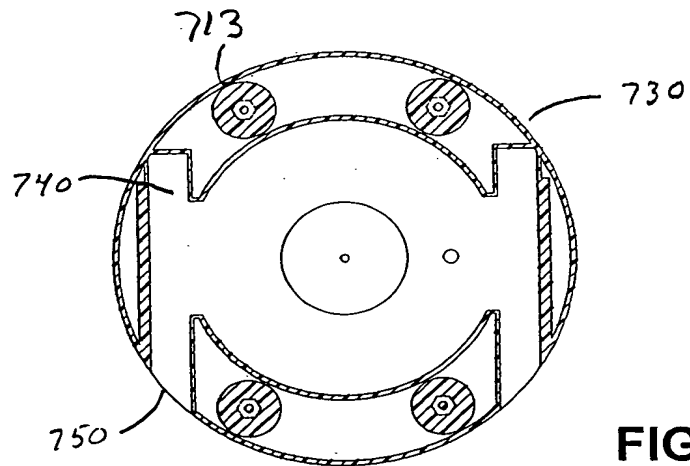


FIG. 26

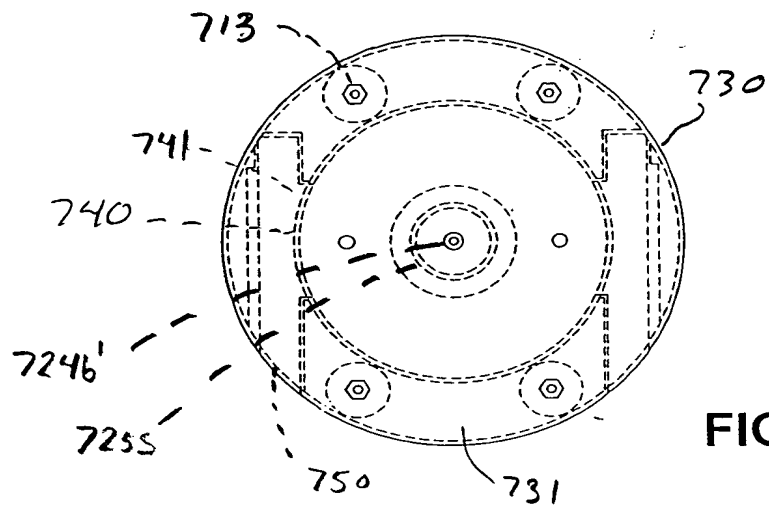
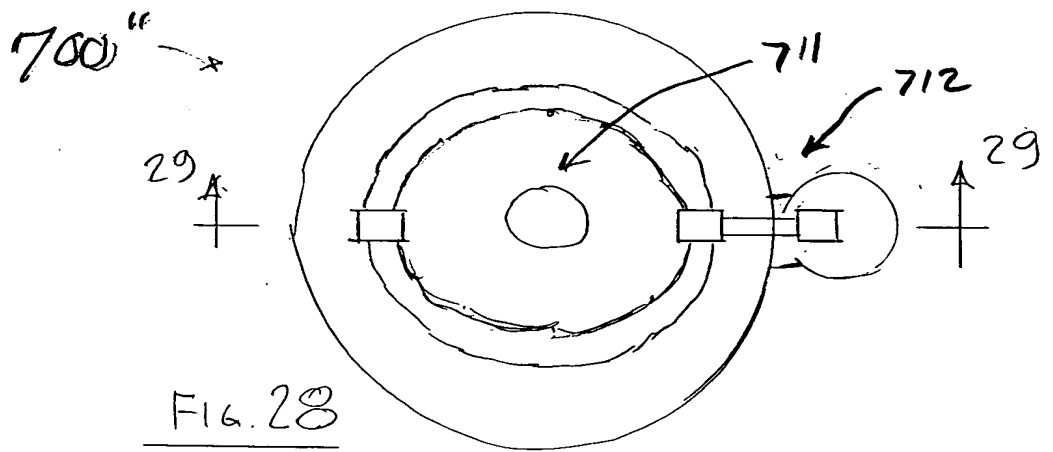
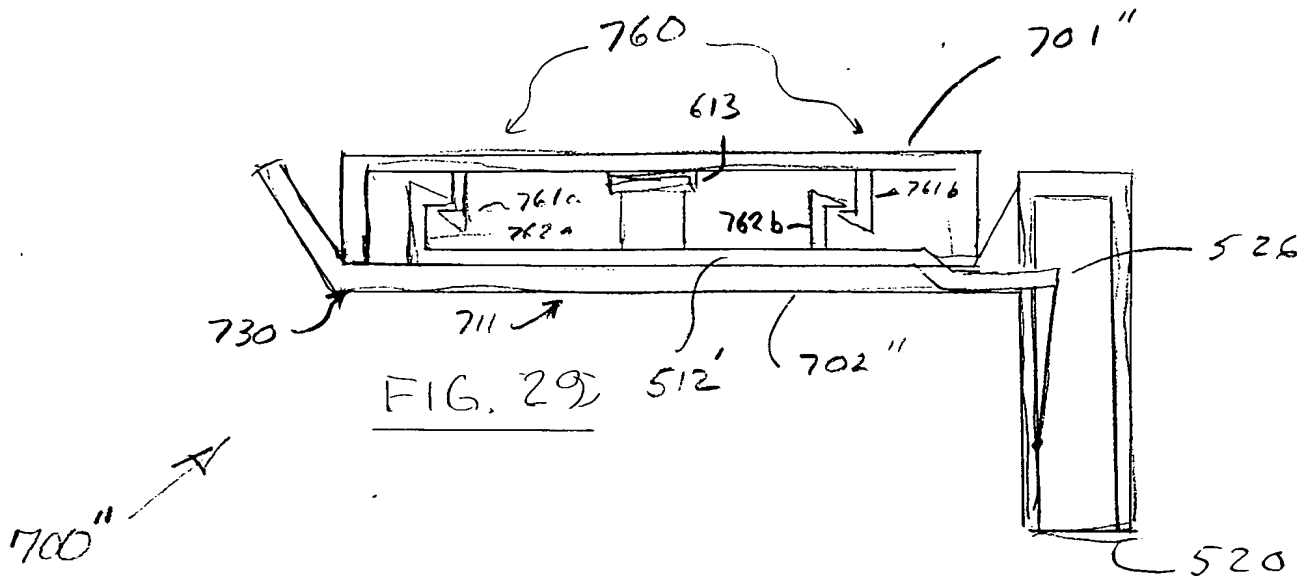
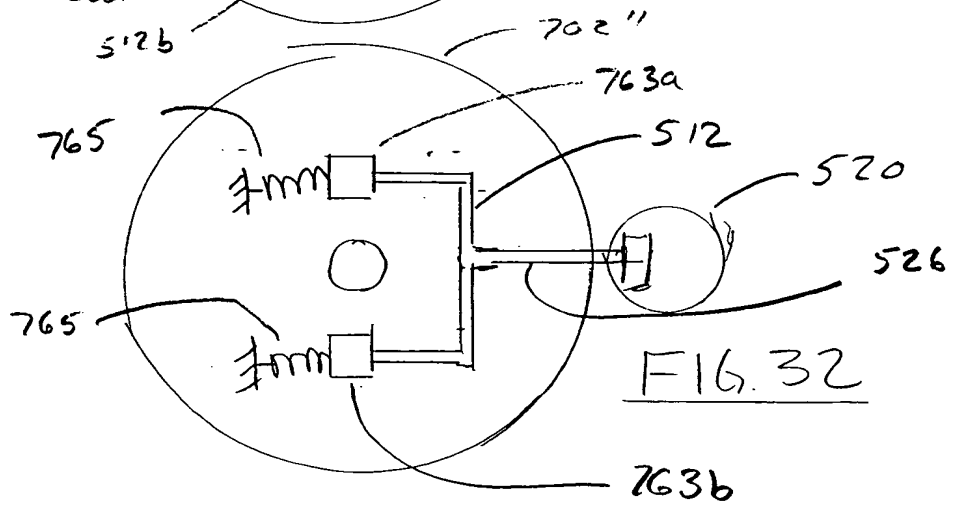
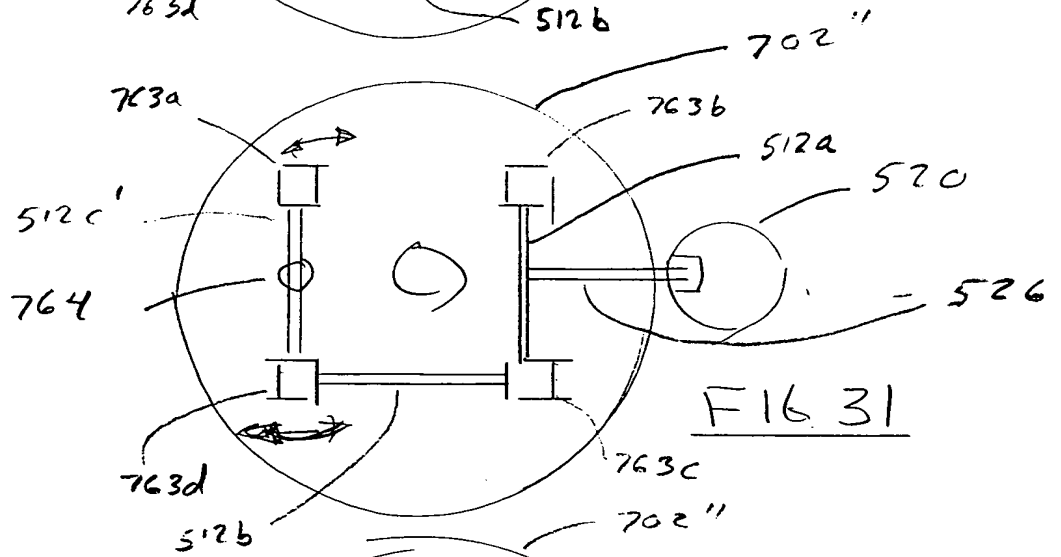
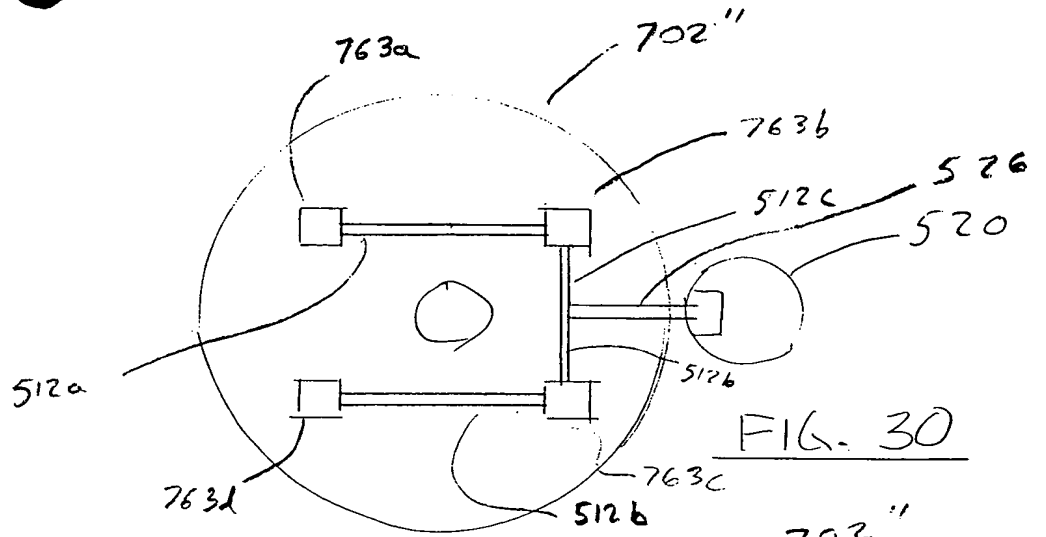


FIG. 27



10007500 10007500 10007500



10007500 120504

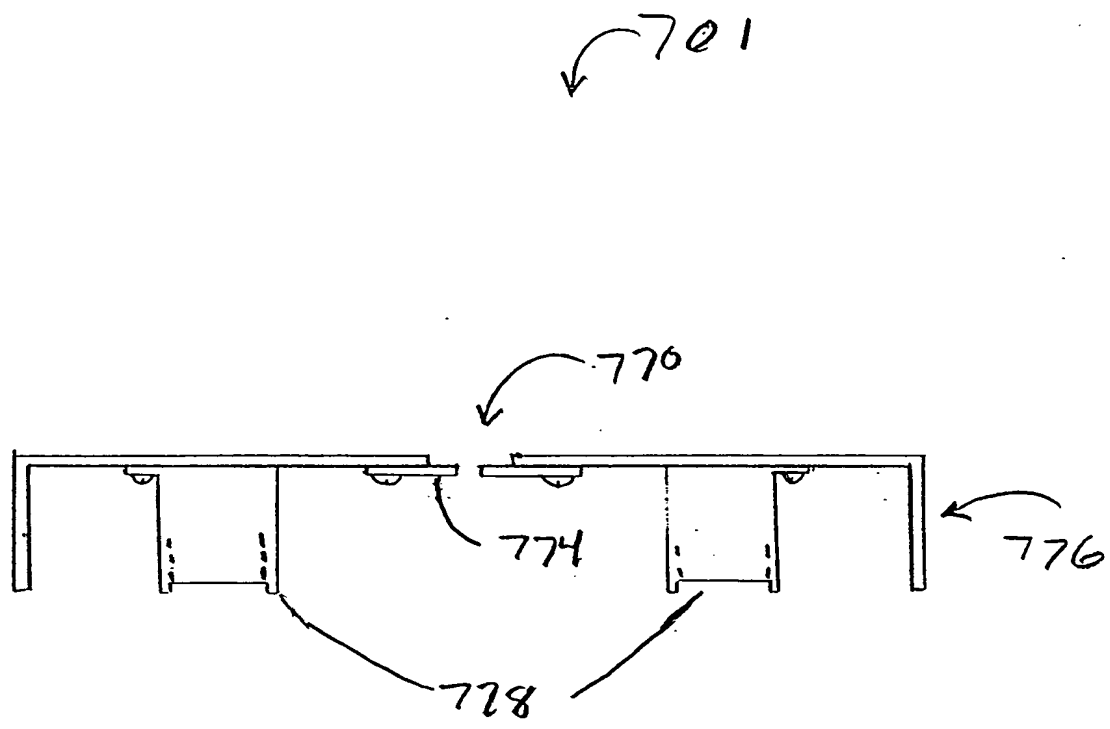


Fig. 33

10007509 4205004

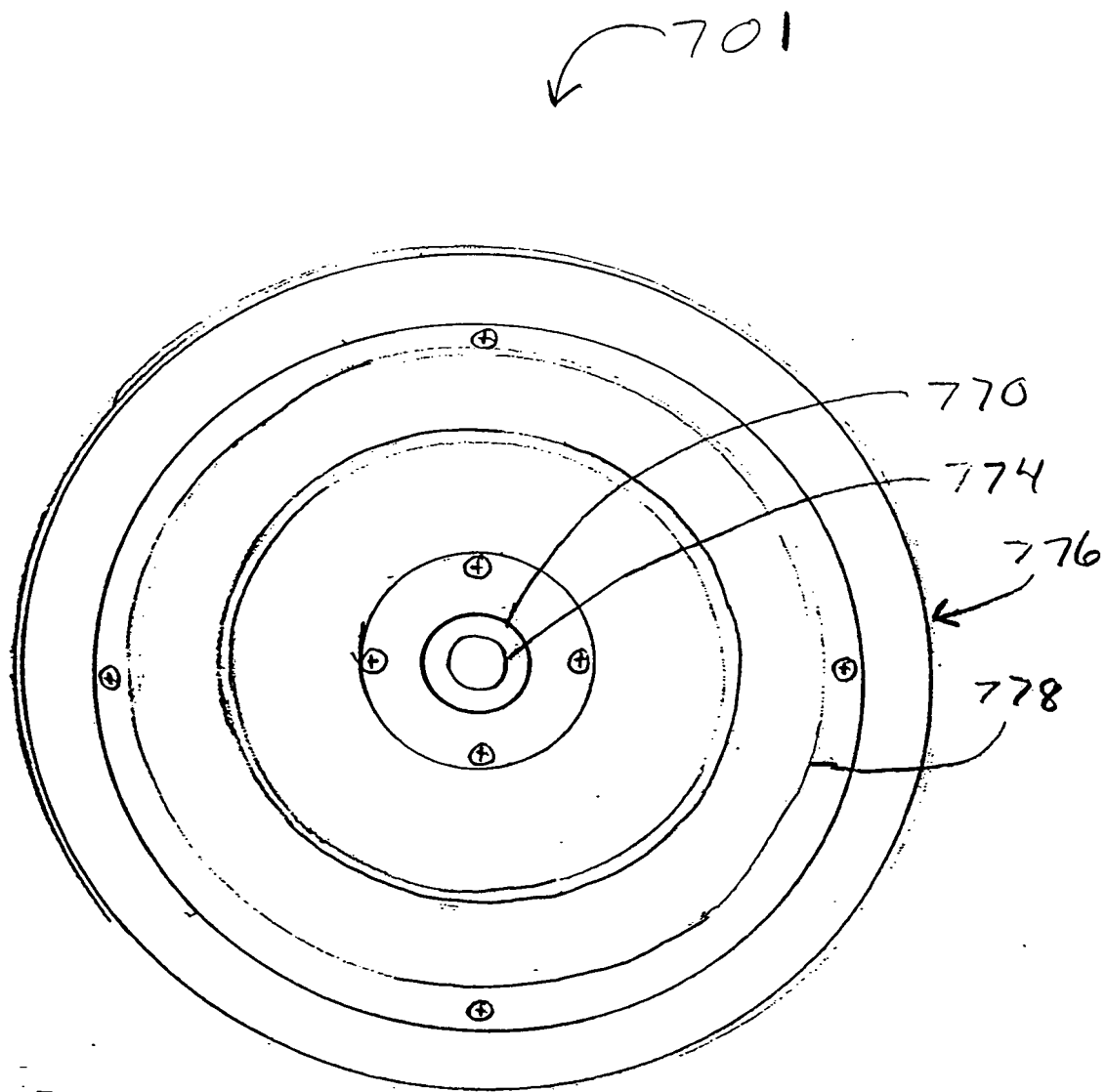


Fig. 34

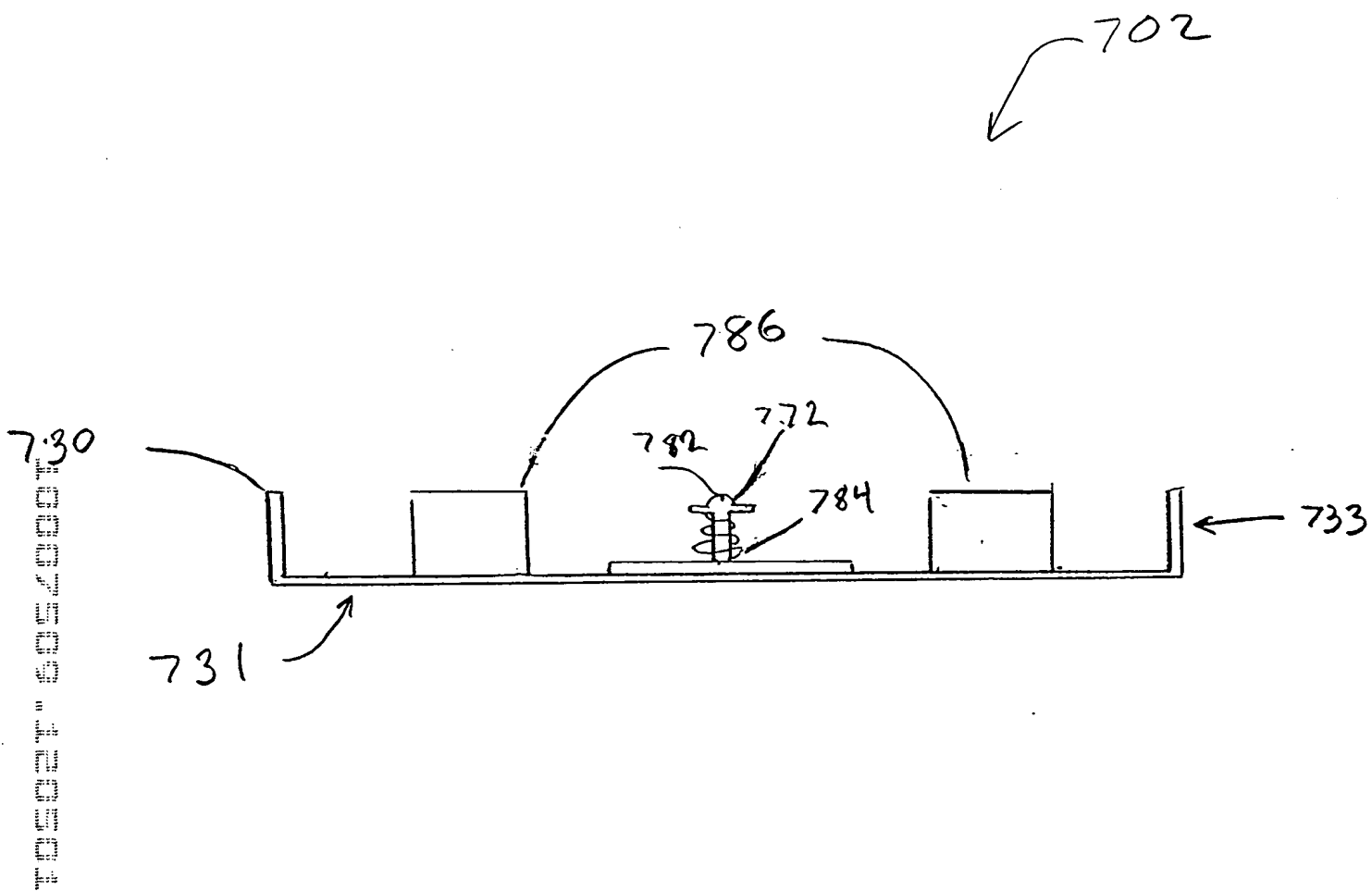


FIG. 36

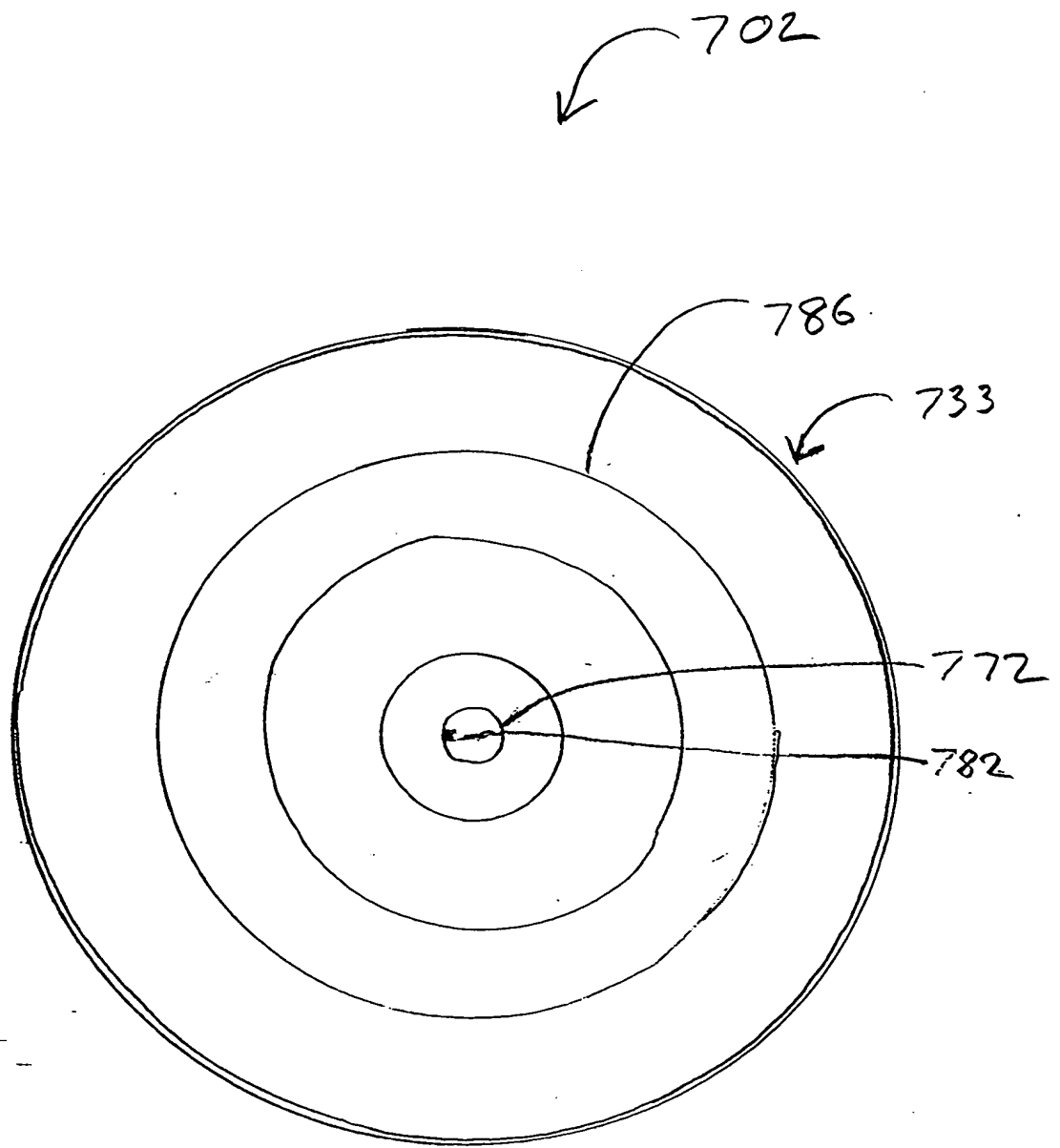


Fig. 36